

возникают вокруг Вольфа — Райе звёзд (рис. 2). Много таких Т. с. имеется также вокруг звёзд спектрального класса Of. Наблюдения в рентг. диапазоне показали, что существуют Т. с., образованные, по-видимому, совокупным действием звёздного ветра (а может быть, и взрывов сверхновых) ассоциации звёзд спектральных классов OB. Они «выдувают» каверну диам. 100—300 пк, внутри к-рой остаётся газ низкой концентрации ($\sim 0.01 \text{ см}^{-3}$), нагретый до неск. млн. К и наблюдаемый только в рентг. лучах. Вокруг таких «пузырей» имеются слабые волокнистые Т. с. Ударные волны меньших скоростей возникают в областях звездообразования. Они видны в виде вытянутых Т. с., свидетельствующих преим. в ИК-диапазоне.

Лит.: Хавтаси Д. Ш., Атлас галактических темных туманностей, Тб., 1960; Рожковский Д. А., Курчаков А. В., Каталог отражательных туманностей, «Труды Астрофизич. ин-та АН Каз. ССР», 1968, г. 11, с. 3; Мартины Д. Я., Курс общей астрофизики, 4 изд., М., 1988; (см. также лит. при ст. *Межзвёздный газ. Зоны Н. Планетарные туманности. Остатки вспышек сверхновых*).

Н. Г. Бочкарёв.

ТУННЕЛЬНАЯ СПЕКТРОСКОПИЯ — спектроскопия твёрдых тел, основанная на исследовании вольт-амперной характеристики (ВАХ) туннельных контактов. В основе Т. с. лежит нелинейная зависимость туннельного тока I , протекающего между двумя проводниками, разделёнными тонким непроводящим барьером (диэлектриком, вакуумным зазором), от приложенного между ними напряжения V . Особенности электронного спектра проводника отражаются на ВАХ туннельного контакта. Так, щель в спектре приводит к обращению тока в 0, а максимумы в плотности состояний сопровождаются максимумами производной тока по напряжению dI/dV . Особенности ВАХ позволяют выяснить зависимость плотности состояний электронов от энергии, а также частоты фононов и молекулярных возбуждений, участвующих в процессе туннелирования.

Вероятность туннелирования через потенц. барьер определяется прозрачностью барьера, плотностью состояний электронов по одну сторону барьера и вероятностью того, что по др. его сторону эти состояния свободны. В металле плотность состояний g вблизи ферми-энергии ϵ_F постоянна ($g = \text{const}$) и туннельный ток I пропорц. напряжению V , приложенном к «берегам» перехода (в области малых напряжений). Если на одном из берегов плотность состояний зависит от энергии $g(\epsilon)$, то дифференц. проводимость контакта dI/dV и, следовательно, туннельный ток при достаточно низких темп-рах прямо пропорц. $g(\epsilon)$.

Т. с. позволила продемонстрировать наличие энергетич. щели Δ в сверхпроводниках и доказать, что возникновение сверхпроводимости происходит за счёт электрон-фононного взаимодействия. На рис. 1 дана зависимость дифференц. проводимости от энергии возбуждения электрона (в единицах Δ) для контакта Mg (диэлектрик) — Pb (сверхпроводник) при $T=0,33$ К. Электронные возбуждения при энергиях, меньших $\Delta < \Delta$, отсутствуют, плотность возбуждённых состояний на границе цели $\Delta \geq \Delta = 1,34$ мэВ резко возрастает, а в области характерных энергий фононного спектра Pb немонотонно изменяется. Именно последнее связано с электрон-фононным механизмом сверхпроводимости.

В случае полупроводников туннелирование электронов через $p-p$ -переход часто осуществляется через т. н. непрямой переход, когда электронный импульс в процессе перехода изменяется на величину q за счёт испускания или поглощения фона. Этот процесс может происходить, когда между берегами туннель-

ного перехода приложено напряжение, определяемое условием $eV = \hbar\omega_q$, где $\hbar\omega_q$ — энергия соответствующего фона на с волновым вектором q , и проявляется как особенности на ВАХ (рис. 2). Стрелками отмечены особенности для разл. ветвей колебаний (акустич. и оптич.), участвующих в туннелировании электронов (см. Колебания кристаллической решётки).

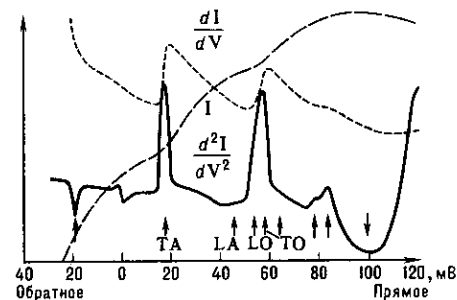


Рис. 2. Зависимость I , dI/dV и d^2I/dV^2 от смещения V для кремниевого диода при 4,2 К.

Если в процессе туннелирования электрон передаёт часть энергии локальному примесному состоянию, то открывается дополнит. канал для туннелирования. Включение «туннелирования через примесное состояние» увеличивает проводимость контакта при $eV = \hbar\omega_0$, где ω_0 — энергия возбуждения примесного центра. На кривой d^2I/dV^2 это отражают дополнит. пики. Форма линии при этом зависит от естеств. ширины линии, энергии возбуждения и температурного уширения из-за теплового «размазывания» энергетич. распределения электронов (рис. 3).

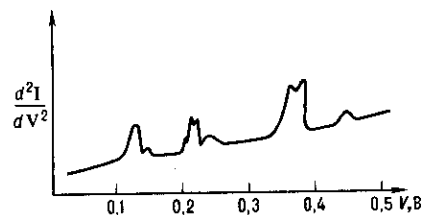


Рис. 3. Спектры примесей СН в гуннельном переходе кремниевого диода.

Т. с. помимо исследования плотности электронных состояний позволяет исследовать влияние внеш. воздействий на электронный спектр, напр. деформации, легирования и т. п.

В отличие от традиционной Т. с. сканирующая Т. с. кроме энергетич. характеристики позволяет получить пространств. характеристики электронных поверхностных состояний. Она базируется на использовании сканирующего туннельного микроскопа, где туннельный ток локализуется в областях размерами порядка атомных. Это позволяет выявить расположение максимумов волновых ф-ций электронов относительно двумерной кристаллич. решётки поверхности образца. В многослойных плёнках, гетеропереходах, сверхрешётках и др. возможно также выявление и спектроскопия отд. компонентов.

Метод сканирующей Т. с. предложен (в 1986) Р. Дж. Хамерсон (R. J. Hamers), Р. М. Тромпом (R. M. Tromp) и Дж. Е. Демутом (J. E. Demuth), продемонстрировавши ми его возможности при изучении реконструированной поверхности кристалла Si (см. Реконструкция поверхности). На рис. 4 приведены ВАХ, полученные в разных точках элементарной ячейки 7×7 . Различие dI/dV обусловлено различием локальных значений плотности поверхностных электронных состояний относительно межатомных расстояний.

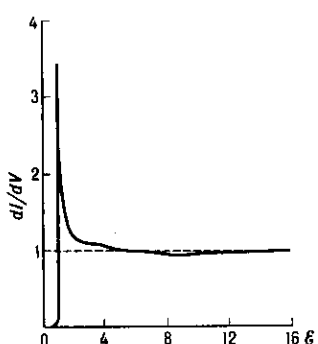


Рис. 1.